

## مقایسه‌ی طرح درمان‌های مختلف در رادیوتراپی Hodgkin با درگیری گردن و مدیاستن به روش میدان‌های موازی – مخالف

محمدباقر توکلی<sup>۱</sup>، مریم ملکی<sup>۲</sup>، علی اخوان<sup>۳</sup>، علیرضا عمومی‌حیدری<sup>۴</sup>، ایرج عابدی<sup>۵</sup>، طاهره حدیثی‌نیا<sup>۶\*</sup>

### مقاله پژوهشی

### چکیده

**مقدمه:** لنفوم Hodgkin، یکی از بیماری‌های بدخیم قابل درمان است. شیوع بدخیمی‌های ثانویه به ویژه سرطان سینه و بیماری‌های قلبی-عروقی پس از رادیوتراپی، اهمیت بهینه کردن طرح درمان برای بیمار را ضروری می‌نماید. در این مطالعه، مقایسه‌ای بین انواع طرح درمان‌های قابل انجام با به کارگیری فوتون‌های ۶ و ۱۸ مگاوات بروی ناحیه‌ی درمانی گردن و مدیاستن انجام گردید.

**روش‌ها:** در این مطالعه، با استفاده از نرمافزار TiGRT کاتنتورینگ تمام اعضای حساس و حجم درمانی برای ۱۸ بیمار زن مبتلا به لنفوم Hodgkin با درگیری گردن و مدیاستن انجام شد و سپس، طرح درمان‌های مختلف با میدان قدامی - خلفی (AP-PA) با انرژی ۶ و ۱۸ مگاوات با وزن‌های مختلف مقایسه گردید.

**یافته‌ها:** استفاده از فوتون ۱۸ مگاوات با وزن یکسان از قدام و خلف نسبت به فوتون رایج ۶ مگاوات، سبب کاهش ۲-۹ درصد دز میانگین برای اعضای پستان، قلب و ریه می‌شود. تغییر نقطه‌ی طبیعی‌سازی از مرکز تومور به Sternal notch، اگر چه سبب کاهش دز میانگین رسیده به اعضای مورد مطالعه می‌گردد، اما با کاهش ۹-۱۳ درصدی دز میانگین رسیده به حجم درمانی، معیار طراحی درمان (۱۰۵ درصد ± دز تجویزی) را برآورده نکرد.

**نتیجه‌گیری:** برای زنان مبتلا به لنفوم Hodgkin با درگیری مدیاستن و گردن، استفاده از فوتون ۱۸ مگاوات با وزن یکسان از قدام و خلف با برآورده کردن معیار طراحی درمان (۱۰۵ درصد ± دز تجویزی) مناسبتر می‌باشد. قرار دادن نقطه‌ی ایزوسترن در مرکز تومور نسبت به Sternal notch نتیجه‌ی مطلوب‌تری ایجاد می‌کند. یکنواختی بهتر توزیع دز در حجم درمان در به کارگیری فوتون ۱۸ مگاوات حاصل می‌گردد.

**وازگان کلیدی:** بیماری Hodgkin، طراحی درمان، پرتودرمانی تطبیقی

**ارجاع:** توکلی محمدباقر، ملکی مریم، اخوان علی، عمومی‌حیدری علیرضا، عابدی ایرج، حدیثی‌نیا طاهره. مقایسه‌ی طرح درمان‌های مختلف در رادیوتراپی Hodgkin با درگیری گردن و مدیاستن به روش میدان‌های موازی – مخالف. مجله دانشکده پزشکی اصفهان ۱۳۹۶؛ ۳۵ (۴۲۵): ۳۸۱-۳۸۶.

### مقدمه

تا نیمه‌ی اول قرن بیستم، لنفوم Hodgkin به عنوان یک بیماری علاج ناپذیر شناخته شده بود، اما امروزه این بیماری یکی از درمان پذیرترین بدخیمی‌ها شناخته شده است. از آن جایی که بیماری Hodgkin بسیار حساس به پرتو است، استفاده از پرتودرمانی در مراحل اولیه‌ی بیماری بسیار کارآمد می‌باشد (۱). در صورت

تشخیص این نوع سرطان در مراحل اولیه، تا ۹۰ درصد موارد بیماران طول عمر بالای ۱۰ سال خواهند داشت (۲). به منظور تابش دهی مناسب به ناحیه‌ی درمان، یک طرح درمان مفید لازم می‌باشد؛ به گونه‌ای که باید عوارض جانبی بافت طبیعی را کاهش دهد و یکنواختی دز در حجم درمان را حفظ کند. بهینه‌سازی طرح درمان در پرتودرمانی، نیازمند طراحی مناسب میدان‌ها، جهت‌های مناسب پرتو،

۱- استاد، گروه فیزیک و مهندسی پزشکی، دانشکده پزشکی اصفهان، اصفهان، ایران

۲- گروه فیزیک و مهندسی پزشکی، دانشکده پزشکی اصفهان، اصفهان، ایران

۳- استادیار، گروه رادیوتراپی - آنکولوژی، دانشکده پزشکی اصفهان، اصفهان، ایران

۴- متخصص رادیوتراپی - آنکولوژی، بیمارستان میلاد اصفهان، اصفهان، ایران

۵- دانشجوی دکتری تخصصی، گروه فیزیک و مهندسی پزشکی، دانشکده پزشکی اصفهان، اصفهان، ایران

۶- دانشجوی دکتری تخصصی، گروه فیزیک و مهندسی پزشکی، دانشکده پزشکی اصفهان، اصفهان، ایران

\*نویسنده‌ی مسؤول: مریم ملکی

Email: m.maleki777@yahoo.com

استفاده از میدان‌های قدامی- خلفی و فوتون با انرژی ۶ مگاولت، درمان رایج برای بیماران دارای درگیری گردن و مدیاستن می‌باشد (۷-۸). در این تحقیق، از پرتو درمانی ۳ بعدی Three dimensional conformal radiation therapy (3D-conformal radiation therapy) با به کارگیری کولیماتورهای برگه‌ای (MLC) یا Multi leaf collimators (MLC) (جهت ایجاد میدان‌های قدامی- خلفی استفاده شد و دز تجویزی ۳۶ گری به نقطه‌ی طبیعی سازی اعمال گردید. برای تعیین توزیع دز بیماران، از نرم‌افزار طراحی درمان TIGRT بیمارستان میلاد اصفهان استفاده شد. این نرم‌افزار، پس از محاسبه نمودار DVH برای هر روش به طور خودکار مقادیر دز جذبی را برای هر عضو کاتور شده محاسبه می‌کند. پس از به دست آوردن اطلاعات مورد نیاز به منظور مقایسه، دز میانگین رسیده به اعضای در معرض خطر شامل پستان، ریه، قلب و تیروئید، میزان حجمی از درمان که ۹۵ درصد را دریافت نموده بود، D<sub>max</sub>. شاخص یکنواختی و درصدهای حجمی (V<sub>4</sub> و V<sub>20</sub>) مورد استفاده قرار گرفتند.

در مرحله‌ی اول طرح درمان دو میدانی قدامی- خلفی با فوتون ۶ مگاولت با وزن‌های متفاوت و در مرحله‌ی دوم با فوتون ۱۸ مگاولت با وزن‌های متفاوت صورت گرفت و در مرحله‌ی آخر با استفاده از ترکیب فوتون‌های ۶ مگاولت و ۱۸ مگاولت با وزن‌های متفاوت طرح درمان‌ها انجام شد. در تمام این مراحل، نقطه‌ی ایزوستر در مرکز تumor قرار گرفت و در پایان، ۴ طرح درمان جهت مقایسه انتخاب شدند. یکی از روش‌های تغییر توزیع دز در طراحی درمان، تغییر نقطه‌ی طبیعی سازی است. در این قسمت، با تغییر محل ایزوستر جهت بررسی تغییر توزیع دز، ایزوستر در Sternal notch قرار گرفت و طرح درمان‌های مرحله‌ی قبل تکرار گردید. میدان پوشش دهنده‌ی حجم درمان شامل سوپراکلاو و ناف‌های ریه، منطبق بر میدان مورد نظر در کتاب آنکولوژی پرتوئی Perez و Brady (۱۰) توسط MLC باز شد و ۴ طرح درمان متفاوت که در آن‌ها نقطه‌ی طبیعی سازی در مرکز ناحیه‌ی درمانی قرار داشت، طراحی گردید. مشخصات طرح درمان اول شامل ۶ مگاولت وزن ۱ از قدام و ۶ مگاولت وزن ۱ از خلف، طرح درمان دوم شامل ۱۸ مگاولت وزن ۱ از قدام و ۱۸ مگاولت وزن ۱ از خلف، طرح درمان سوم شامل ۶ مگاولت وزن ۱ از قدام و ۱۸ مگاولت وزن ۱ از خلف و طرح درمان چهارم شامل ۱۸ مگاولت وزن ۱ از قدام و ۶ مگاولت وزن ۱ از خلف بود.

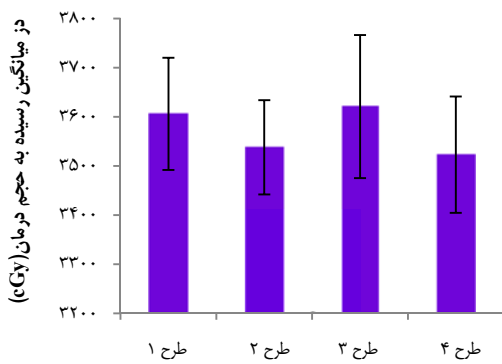
از مهم‌ترین موارد قابل توجه در طراحی درمان، توجه به میزان یکنواختی دز دریافتی در حجم درمان برای تکنیک‌های مختلف پرتو درمانی بود. هر چه تغییرات دز در ناحیه‌ی درمانی کمتر باشد، طرح درمان قابل قبول‌تر است. جهت تعیین میزان یکنواختی دز در

تعداد میدان‌ها و وزن‌های پرتو است و بهینه کردن طرح درمانی که بتواند حجم درمان را به خوبی پوشش دهد و حفاظت بهتری از اعضای سالم اطراف تumor را ایجاد کند، بسیار ضروری است (۳). بهترین طرح درمان با مقایسه نمودارهای توزیع دز حجمی (DVH) یا Dose volume histogram) (اعضا و با مقایسه شاخص یکنواختی در حجم درمان حاصل می‌شود. به منظور بهینه کردن درمان، مطالعات زیادی بر روی انواع سرطان‌ها انجام شده است. در این میان، می‌توان به طرح درمان‌های صورت گرفته در درمان سرطان‌های پستان، مری و پروستات اشاره کرد؛ این مطالعات، نشان می‌دهند که استفاده از انرژی‌های مختلف نتایج متفاوتی ایجاد می‌کند (۴-۵). در مطالعه‌ی Koh و همکاران در دانشگاه تورنتو، میدان‌های Mantle و Involved-field radiation therapy (IFRT) را مقایسه کردند و نشان دادند که استفاده از میدان‌های کاهش یافته، خطر نسبی ابتلا به سرطان سینه را در زنان ۶۵ درصد و سرطان ریه را در مردان ۳۵ درصد کاهش می‌دهد (۶).

Cella و همکاران و همچنین De Sanctis و همکاران، مقایسه‌ای بین روش‌های مرسوم و Intensity-modulated radiation therapy (IMRT) انجام دادند و دریافتند که روش‌های ساده‌ی مرسوم پوشش بهتری برای حجم درمان خواهند داشت (۷-۸). در مطالعه‌ی دیگری بررسی و مقایسه‌ی روش‌های دو و چهار میدانی برای بیمارانی که تنها دچار درگیری مدیاستن بودند، صورت گرفت. طبق نتایج به دست آمده، استفاده از تکنیک چهار میدانی، دز میانگین رسیده به آنورت و مری را کاهش می‌دهد؛ ضمن آن که بهترین پوشش دهی حجم درمان در روش دو میدانی حاصل گردید (۹). انرژی رایج جهت درمان این بیماران ۶ مگاولت بود. اگر چه یکنواختی پروفایل برای انرژی فوتون ۶ مگاولت قابل قبول است، اما به دلیل وجود تفاوت ضخامت در درون میدان، غیر یکنواختی ۱۰-۲۰ درصد می‌تواند ایجاد شود. بنابراین، انجام طرح درمان با استفاده از انرژی‌های متفاوت و به دست آوردن توزیع دز در اعضای مورد مطالعه امری لازم است. این مطالعه با استفاده از اطلاعات نمودارهای DVH و شاخص یکنواختی حجم درمانی برای بیماران با درگیری گردن و مدیاستن، به منظور دستیابی به بهترین طرح درمان، انجام گردید.

## روش‌ها

بیشتر از ۵۰ درصد بیماران دارای درگیری در ناحیه‌ی مدیاستن می‌باشند و بیش از ۸۰ درصد آن‌ها درگیری ناحیه‌ی گردنی نیز دارند (۱۰). از این‌رو، در مطالعه‌ی حاضر از اطلاعات Computed tomography scan (CT Scan) ۱۸ بیمار زن که دارای هر دو درگیری بودند، استفاده گردید.



شکل ۱. مقایسه‌ی دز میانگین رسیده به حجم درمان در چهار طرح درمان

### اعضای حساس

**پستان:** مطابق با داده‌های جدول ۱، دز میانگین رسیده به پستان چپ و راست در طرح درمان شماره‌ی ۲ یعنی استفاده از فوتون ۱۸ مگاولت از قدام و خلف نسبت به سه طرح درمان دیگر کمترین مقدار را داشت. میزان این کاهش نسبت به طرح درمان شماره‌ی ۱ برای پستان چپ و راست به ترتیب ۲۰ و ۱۳ درصد بود. درصد حجمی از پستان که ۴ گری دریافت نمود، در جدول ۲ قابل مشاهده است که مقدار میانگین این پارامتر برای پستان چپ و راست در طرح درمان شماره‌ی ۲ نسبت به طرح درمان شماره‌ی ۱ کمتر بود.

**قلب و تیروئید:** دز میانگین رسیده به این اعضاء در جدول ۱ آمده است. مطابق با این جدول، کاهش ۲۳ درصد دز میانگین قلب در طرح درمان شماره‌ی ۲ نسبت به طرح درمان شماره‌ی ۱ ملاحظه می‌گردد. در طرح‌های درمان انجام شده، تفاوت معنی‌داری در دز میانگین رسیده به تیروئید وجود نداشت.

حجم درمان از فرمول تعریف شده توسط گروه آنکولوژی و پرتودرمانی (RTOG) Radiation Therapy Oncology Group یا استفاده شد.

$$HI_{RTOG} = I_{max}/RI \quad (1)$$

در این فرمول،  $I_{max}$  دز بیشینه و  $RI$  دز تجویزی ۳۶ گری می‌باشد. طبق شیوه‌نامه‌ی گروه آنکولوژی پرتوسیم، معیار یکنواختی (Homogeneity index)  $HI_{RTOG} \leq 2$  یکنواختی در طرح‌های درمان در نظر گرفته شد.

### یافته‌ها

**پوشش دهنده حجم درمان:** پارامترهای به دست آمده برای پوشش دهنده حجم درمان (Planning target volume) یا PTV در جدول ۱ آمده است. مقدار دز رسیده به ۹۵ درصد از حجم درمان، در طرح درمان شماره‌ی ۲ نسبت به طرح درمان شماره‌ی ۱، ۱۰ درصد افزایش یافت که با توجه به معیار طراحی درمان ۱۰۵ درصد  $\pm$  دز تجویزی، پوشش دهنده قابل قبول تری به همراه داشت. دز بیشینه‌ی رسیده به حجم درمان در طرح درمان شماره‌ی ۲ نسبت به طرح‌های درمان دیگر، کمتر بود. با توجه به فرمول شماره‌ی ۱ و معیار  $2 \leq HI_{RTOG} \leq 4$  در چهار طرح درمان انجام شده، حد قابل قبول یکنواختی حاصل شد، اما کمترین تغییرات دز که تثان دهنده‌ی یکنواختی بهتر توزیع دز می‌باشد، در طرح درمان شماره‌ی ۲ ایجاد شد. با وجود این که دز میانگین رسیده به حجم درمان در طرح درمان شماره‌ی ۲ نسبت به چهار طرح درمان دیگر کمتر بود، اما با این وجود، معیار طراحی درمان (۱۰۵ درصد  $\pm$  دز تجویزی) را برآورده کرد که در شکل ۱ قابل مشاهده است.

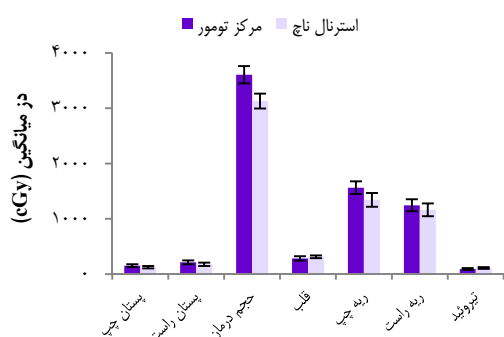
جدول ۱. مقادیر میانگین دز رسیده به اعضاء، شاخص یکنواختی، (Santti گری)،  $D_{5\%}$  (Santti گری)،  $D_{95\%}$  (Santti گری) در حجم درمان

P مقدار	متوسط دز میانگین (Santti گری)				
	طرح درمان ۱				
	AP (۱۸-۱)	AP (۶-۱)	AP (۱۸-۱)	AP (۶-۱)	PA (۶-۱)
< ۰/۰۰۱	۱۳۹/۰۳ $\pm$ ۷۴/۲۵	۱۳۲/۹۸ $\pm$ ۱۴/۹۶	۱۲۲/۸۸ $\pm$ ۲۱/۴۵	۱۵۳/۱۴ $\pm$ ۲۱/۱۹	پستان چپ
۰/۰۰۱	۱۹۴/۲۶ $\pm$ ۱۹/۰۲	۱۹۰/۳۸ $\pm$ ۲۷/۸۹	۱۸۵/۳۰ $\pm$ ۳۵/۱۱	۲۱۴/۳۴ $\pm$ ۲۵/۲۵	پستان راست
۰/۰۰۱	۲۶۷/۸۲ $\pm$ ۷۱/۰۲	۲۳۲/۷۳ $\pm$ ۶۱/۲۴	۲۱۶/۷۳ $\pm$ ۲۵/۹۷	۲۸۳/۹۱ $\pm$ ۴۲/۵۷	قلب
۰/۰۰۲	۱۵۳۳/۶۴ $\pm$ ۱۰۰/۷۸	۱۵۰/۵۰ $\pm$ ۱۴۰/۲۱	۱۴۸۵/۲۵ $\pm$ ۱۱۲/۰۴	۱۵۶/۵۱ $\pm$ ۱۲۵/۳۵	ریه چپ
۰/۰۰۱	۱۲۱۶/۸۴ $\pm$ ۱۴۲/۰۱	۱۱۹/۰۵ $\pm$ ۱۴۰/۳۷	۱۱۶۱/۹۹ $\pm$ ۱۱۵/۴۵	۱۲۴۵/۳۶ $\pm$ ۸۷/۵۴	ریه راست
۰/۰۱۵	۹۲/۳۰ $\pm$ ۱۸/۶۵	۸۸/۲۱ $\pm$ ۳۱/۸۷	۸۶/۳۱ $\pm$ ۲۲/۴۴	۹۱/۲۳ $\pm$ ۱۴/۲۱	تیروئید
۰/۱۲۳	۱/۱۷ $\pm$ ۰/۴۲	۱/۱۶ $\pm$ ۰/۸۷	۱/۱۱ $\pm$ ۰/۳۴	۱/۲۰ $\pm$ ۰/۲۳	PTV
۰/۰۰۱	۴۲۲۶/۰۰ $\pm$ ۹۵/۵۶	۴۱۸۱/۰۰ $\pm$ ۱۰۲/۳۲	۴۰۰۶/۰۰ $\pm$ ۸۴/۰۰	۴۳۴۳/۰۰ $\pm$ ۱۲۱/۲۱	(D <sub>max</sub> ) (Santti گری)
۰/۰۲۱	۳۴۸/۰۹ $\pm$ ۶۵/۴۷	۳۳۰/۷/۰۳ $\pm$ ۸۹/۵۱	۳۳۵۷/۱۱ $\pm$ ۱۱۲/۲۴	۳۰۶۸/۹۴ $\pm$ ۱۳۵/۰۳	(D <sub>95%</sub> ) (Santti گری)
۰/۰۳۱	۳۸۷۷/۳۰ $\pm$ ۹۸/۲۱	۳۸۸۷/۲۱ $\pm$ ۱۱۷/۸۴	۳۸۵۵/۴۹ $\pm$ ۱۳۸/۱۵	۳۹۷۷/۶۲ $\pm$ ۱۲۲/۴۶	(D <sub>5%</sub> ) (Santti گری)
۰/۰۰۳	۳۵۲۳/۶۲ $\pm$ ۱۱۸/۳۶	۳۶۲۱/۷۶ $\pm$ ۱۴۵/۶۹	۳۵۳۸/۴۳ $\pm$ ۹۶/۰۰	۳۶۰۶/۹۳ $\pm$ ۱۱۴/۲۴	(D <sub>mean</sub> ) (Santti گری)

AP: Anteroposterior; PA: Posteroanterior; PTV: Planning target volume; RTOG: Radiation Therapy Oncology Group

جدول ۲. میزان درصد حجمی V4 برای پستان چپ و راست، V<sub>3</sub> و V<sub>20</sub> برای ریه‌ها

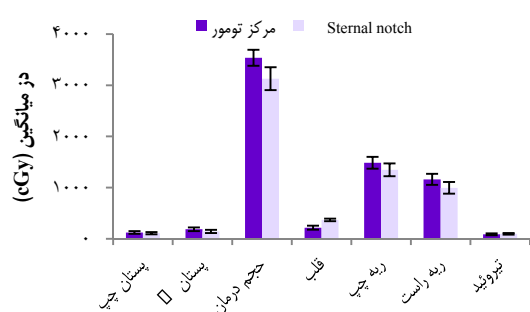
موقع	طرح درمان	درصد حجمی V4	موقع	طرح درمان	درصد حجمی V3	درصد حجمی V20
پستان راست	۱	۱۰/۹۲	ریهی راست	۱	۴۹/۹۰	۲۸/۲۲
۲	۸/۳۶	۴۲/۵۹	۲	۲	۴۳/۱۱	۲۷/۹۴
۳	۸/۳۶	۴۶/۵۱	۳	۴	۵۸/۰۰	۲۷/۳۶
۴	۱۰/۷۱	۵۸/۰۰	ریهی چپ	۱	۴۹/۹۰	۳۶/۵۸
۱	۵/۴۹	۴۹/۹۰	۲	۷/۰۵	۴۹/۹۰	۳۶/۳۷
۲	۵/۷۵	۵۱/۷۳	۳	۷/۰۵	۵۱/۷۳	۳۶/۳۲
۳	۷/۳۲	۵۵/۹۱	۴	۷/۳۲	۵۵/۹۱	۳۶/۰۶



شکل ۲. مقایسه‌ی طرح درمان رایج (۶-۱) PA در دو نقطه‌ی طبیعی سازی متفاوت

AP: Anterioposterior; PA: Posteroanterior

در این بیماری، استفاده از میدان‌های قدامی-خلفی، همواره بهترین پوشش حجم درمانی را ایجاد می‌کند. در میان طرح‌های درمان انجام شده در این مطالعه، در مجموع طرح درمان شماره‌ی ۲ با افزایش ۱۰ درصدی D<sub>95</sub> و کاهش ۸ درصدی بیشینه‌ی دز در حجم درمان و همچنین، شاخص یکنواختی (HI) پایین‌تر نسبت به طرح درمان شماره‌ی ۱، به دلیل کاهش احتمال تشکیل نقطه‌ی داغ در حجم درمان و غیر یکنواختی کمتر، از نتیجه‌ی مطلوب‌تری برخوردار می‌باشد.



شکل ۳. مقایسه‌ی طرح درمان (۱۸-۱) PA در دو

نقطه‌ی طبیعی سازی متفاوت

AP: Anterioposterior; PA: Posteroanterior

**ریه:** مطابق با داده‌های جداول ۱ و ۲، درصد حجمی از ریه که ۳ گری دریافت نمود، در هر دو ریهی چپ و راست در طرح درمان شماره‌ی ۲ نسبت به دیگر طرح‌های درمان کمتر بود، اما تفاوت قابل توجهی در درصد حجمی V<sub>20</sub> در چهار طرح درمان انجام شده وجود نداشت. دز میانگین رسیده به ریه‌ها در طرح درمان شماره‌ی ۱ بیشترین و در طرح درمان شماره‌ی ۲ کمترین مقدار را داشت.

**تغییر نقطه‌ی طبیعی سازی:** یکی از روش‌های تغییر توزیع دز در حجم درمان، تغییر نقطه‌ی طبیعی سازی است. با توجه به شکل ۱، با تغییر نقطه‌ی طبیعی سازی در میدان شامل گردن و مدیاستن از مرکز حجم درمانی به نقطه‌ی Sternal notch دز میانگین رسیده به قلب و تیروئید افزایش و به پستان و مری کاهش می‌یابد. هر چند که این کاهش دز سبب حفاظت بهتر از این اعضاء می‌شود، اما این تغییر سبب پوشش‌دهی نامناسب PTV می‌گردد.

از آن جایی که یکی از ملاحظات اصلی در طراحی درمان رساندن بیشترین دز به حجم درمان و کاهش دز رسیده به اعضای سالم اطراف حجم درمانی است، پوشش‌دهی مناسب حجم درمان حائز اهمیت است.

با قرار دادن نقطه‌ی طبیعی سازی در Sternal notch، طرح درمان شماره‌ی ۱، ۸۶ و طرح درمان شماره‌ی ۲، ۹۰ درصد حجم درمانی را پوشش دادند که معیار طراحی درمان جهت پوشش‌دهی حجم درمان (۱۰۵ درصد ± دز تجویزی) را برآورده نساخت. شکل‌های ۲ و ۳ در دو نقطه‌ی طبیعی سازی متفاوت نشان داده شده است.

## بحث

هدف از طراحی درمان، پوشش بهتر و انتقال حداقل دز به حجم درمانی و در عین حال، رساندن حداقل دز با کمترین عوارض جانبی به سافت طبیعی و سالم اطراف تومور می‌باشد. یکنواختی دز در حجم تومور و حفظ اندام‌های حساس، مهم‌ترین ملاحظات برای قضاوت طرح درمان است.

درمان نسبت به سایر طرح‌های درمان، عوارض قلبی کاهش یابد و آسیب کمتری به قلب برسد.

در مطالعات گذشته، مشاهده شد که روش IMRT نسبت به دو روش میدان‌های قدامی- خلفی و روش چهار میدانی جهت حفاظت قلب و بطن چپ روش ارجحی می‌باشد (۱۱)، اما در صورت استفاده از میدان‌های قدامی- خلفی با توجه به طرح‌های درمان انجام شده در این مطالعه، در نظر گرفتن کلیه معیارهای طراحی درمان، استفاده از فوتون ۱۸ مگاولت با وزن یکسان از قدام و خلف با برآورده کردن معیار طراحی درمان ( $105 \pm 5$  درصد) و کمینه کردن دز میانگین رسیده به اعضای مری، قلب و تیروئید و یکنواختی بهتر توزیع دز در حجم درمان، طرح درمان بهینه می‌باشد.

### تشکر و قدردانی

این مقاله حاصل پایان‌نامه‌ی دوره کارشناسی ارشد به شماره‌ی ۳۹۴۴۵ در دانشگاه علوم پزشکی اصفهان می‌باشد. نویسندهان این مقاله از بخش رادیوتراپی بیمارستان میلان اصفهان که جهت انجام این تحقیق همکاری داشته‌اند، صمیمانه تشکر و قدردانی می‌نمایند.

### References

1. Dasher B, Wiggers N, Vann AM. Portal design in radiation therapy. Columbia, SC: R. L. Bryan Company; 1994.
2. Davis QG, Paulino AC, Miller R, Ting JY. Mantle fields in the era of dynamic multileaf collimation: field shaping and electronic tissue compensation. *Med Dosim* 2006; 31(3): 179-83.
3. Greenfield DM, Wright J, Brown JE, Hancock BW, Davies HA, O'Toole L, et al. High incidence of late effects found in Hodgkin's lymphoma survivors, following recall for breast cancer screening. *Br J Cancer* 2006; 94(4): 469-72.
4. Nihei K, Mitsumori M, Ishigaki T, Fujishiro S, Kokubo M, Nagata Y, et al. Determination of optimal radiation energy for different breast sizes using CT-simulator [correction of simulation] in tangential breast irradiation. *Breast Cancer* 2000; 7(3): 231-6.
5. Yang GY, McClosky SA, Khushalani NI. Principles of modern radiation techniques for esophageal and gastroesophageal junction cancers. *Gastrointest Cancer Res* 2009; 3(2 Suppl): S6-S10.
6. Koh ES, Tran TH, Heydarian M, Sachs RK, Tsang RW, Brenner DJ, et al. A comparison of mantle versus involved-field radiotherapy for Hodgkin's lymphoma: reduction in normal tissue dose and second cancer risk. *Radiat Oncol* 2007; 2: 13.
7. Celli L, Liuzzi R, Magliulo M, Conson M, Camera L, Salvatore M, et al. Radiotherapy of large target volumes in Hodgkin's lymphoma: normal tissue sparing capability of forward IMRT versus conventional techniques. *Radiat Oncol* 2010; 5: 33.
8. De Sanctis V, Bolzan C, D'Arienzo M, Bracci S, Fanelli A, Cox MC, et al. Intensity modulated radiotherapy in early stage Hodgkin lymphoma patients: is it better than three dimensional conformal radiotherapy? *Radiat Oncol* 2012; 7: 129.
9. Tavakoli MB, Maleki M, Akhavan A, Amouheidari A, Hadisinia T, Khajooe-Fard R. Comparison of the dose distribution in the two- and four-fields treatment plannings with energy of 6 and 18 MV in patients with Hodgkin's disease with mediastinal involvement. *J Isfahan Med Sch* 2016; 34(396): 991-7. [In Persian].
10. Halperin EC, Perez CA, Brady LW. Perez and Brady's principles and practice of radiation oncology. 5<sup>th</sup> ed. Philadelphia, PA: Lippincott Williams and Wilkins; 2007.
11. Schill S, Kampfer S, Hansmeier B, Nieder C, Geinitz H. Sparing of critical organs in radiotherapy of mediastinal lymphoma. In: Dossel O, Schlegel WC, editors. World Congress on Medical Physics and Biomedical Engineering, September 7 - 12, 2009, Munich, Germany: Vol. 25/1 Radiation Oncology. Berlin, Germany: Springer; 2009. p. 711-3.

Cella و همکاران (۷) و همچنین De Sanctis و همکاران (۸)، نشان دادند که روش‌های ساده‌ی مرسوم نسبت به IMRT پوشش بهتری برای حجم درمان خواهند داشت. معیار  $2 \text{ g} \text{cm}^{-2}$  در چهار طرح درمان قابل قبول می‌باشد، اما با توجه به کاهش ۱۶ درصدی دز میانگین رسیده به کل پستان در طرح درمان شماره‌ی ۲ نسبت به طرح درمان شماره‌ی ۱، استفاده از این طرح درمان یعنی به کارگیری فوتون ۱۸ مگاولت با وزن یکسان از قدام و خلف جهت حفاظت پستان پیشنهاد می‌شود.

با توجه به مقادیر  $V_{20}$ ,  $V_3$  و  $D_{mean}$  برای کل ریه که در طرح درمان شماره‌ی ۲ به ترتیب این مقادیر ۱، ۱۳ و ۵ درصد نسبت به طرح درمان شماره‌ی ۱ کاهش یافته است، می‌توان طرح درمان شماره‌ی ۲ را جهت حفاظت از ریه معرفی نمود. جهت رساندن حداقل دز به حجم درمان، قرار دادن نقطه‌ی طبیعی سازی در مرکز تumor نسبت به نقطه‌ی sternal notch, نتیجه‌ی مطلوب تری به دست می‌دهد.

کاهش قابل توجه دز میانگین رسیده به قلب در به کارگیری طرح درمان شماره‌ی ۲، سبب می‌شود که هنگام استفاده از این طرح

## Comparing Different Treatment Plans in Radiotherapy of Hodgkin Disease Involving Neck and Mediastinum, Using Parallel-Opposite Fields Method

Mohammad Bagher Tavakoli<sup>1</sup>, Maryam Maleki<sup>2</sup>, Ali Akhavan<sup>3</sup>, Alireza Amouheidari<sup>4</sup>, Iraj Abedi<sup>5</sup>, Tahereh Hadisinia<sup>6</sup>

### Original Article

#### Abstract

**Background:** Hodgkin lymphoma is one of the treatable malignant diseases. The incidence of secondary cancers, especially breast cancer, and cardiovascular diseases after radiotherapy doubles the importance of patient treatment plan. In this study, some comparisons were made between a variety of treatments by using photon energy of 6 and 18 MV on the treated areas of neck and mediastinum.

**Methods:** The contouring of all sensitive organs and treatment volumes were performed for 18 female patients with Hodgkin lymphoma involving neck and mediastinum, using TiGRT software. Then, comparison between different anterior-posterior (AP-PA) treatments with different weights of 6 and 18 MV was done.

**Findings:** Using 18-MV photon with the same weight of the anterior and posterior than conventional 6-MV photon caused 2-9% reduction in mean dose to breast, heart, and lungs. Although changing the normalization (isocenter) point from the center of tumor to sternal notch reduced the mean dose of the studied organs, 9-13% reduction in the mean dose of treatment volume did not meet the criterion (prescribed dose  $\pm 105\%$ ).

**Conclusion:** For women with Hodgkin lymphoma involving mediastinum and neck, using 18-MV photon with the same weight of the anterior and posterior is more appropriate to meet the design criteria of treatment (coating suitable treatment volume of prescribed dose  $\pm 105\%$ ). Changing isocenter point from the center of the tumor to sternal notch causes a more favorable result. The better uniformity of the dose distribution in treatment volume is achieved by using 18-MV photon.

**Keywords:** Hodgkin Disease, Treatment planning, Conformal radiotherapy

**Citation:** Tavakoli MB, Maleki M, Akhavan A, Amouheidari A, Abedi I, Hadisinia T. Comparing Different Treatment Plans in Radiotherapy of Hodgkin Disease Involving Neck and Mediastinum, Using Parallel-Opposite Fields Method. J Isfahan Med Sch 2017; 35(425): 381-6.

1- Professor, Department of Medical Physics and Engineering, School of Medicine, Isfahan University of Medical Sciences, Isfahan, Iran

2- Department of Medical Physics and Engineering, School of Medicine, Isfahan University of Medical Sciences, Isfahan, Iran

3- Assistant Professor, Department of Radiation-Oncology, School of Medicine, Isfahan University of Medical Sciences, Isfahan, Iran

4- Radiation Oncologist, Department of Radiation-Oncology, Isfahan Milad Hospital, Isfahan, Iran

5- PhD Student, Department of Medical Physics and Engineering, School of Medicine, Isfahan University of Medical Sciences, Isfahan, Iran

6- PhD Student, Department of Medical Physics and Engineering, School of Medicine, Tehran University of Medical Sciences, Tehran, Iran

**Corresponding Author:** Maryam Maleki, Email: m.maleki777@yahoo.com